



Programa de Aseguramiento de la Calidad de Patología Anatómica.

Inmunohistoquímica

Laboratorio 200102 | Clinica del occidente





## QAP-PAT-IHQ | Inmunohistoquímica

Institución: Clinica del occidente

N° Laboratorio: 200102

Reportado por el patólogo: Juan Martinez

Código del patólogo: CDO-003

País: Colombia

Ciudad: Cali Valle del Cauca

Dirección: N/A

Teléfono: 3187751642

Email: jessica.ramirez@clinicadeoccidente.com

Tercer envío: Código C.1

Fecha de envío: 2024-05-22

Fecha de emisión: 2024-05-22

Estado de reporte: Final

\*Nuestro proveedor certificado de las muestras de los programas de ensayos de aptitud QAPPAT, garantiza que los materiales utilizados durante la producción se obtienen conforme a requisitos éticos y reglamentarios declarados en términos de estabilidad, trazabilidad y relevancia médica.

El presente informe es generado por Quik SAS, y ninguna actividad relacionada con su producción es subcontratada.

La información contenida en este reporte es confidencial y su divulgación se realiza únicamente al participante interesado, o a la autoridad competente en caso de ser requerido, con autorización expresa del mismo.





## Descripción del reto

## Tercer envío | Código C.1

Caso clínico 1 IHQ-SET-C1	 p. 4
Caso clínico 2 IHQ-SET-C2	 p. 7
Caso clínico 3 IHQ-SET-C3	 p. 10
Caso clínico 4 IHQ-SET-C4	 p. 13





# Evaluación diagnóstica Caso clínico 1 IHQ-SET-C1

Diagnóstico		
Su respuesta	Respuesta referenciada	
Tumor germinal mixto	Tumor germinal mixto	
Conco	ordante	

Consenso de valoraciones					
Teratoma puro	Tumor germinal mixto Carcinoma embrionario puro Tumor del seno				
			endodérmico puro		
0 (0%)	10 (100%)	0 (0%)	0 (0%)		

## Interpretación de la inmunohistoquímica

Marcador	Patrón de tinción		Patrón de tinción Intensidad de tinción		% células positivas	
Ivial Caudi	Su respuesta	Rta. referenciada	Su respuesta	Rta. referenciada	Su respuesta	Rta. referenciada
CD30	Membranoso	Membranoso	Moderada	Fuerte	1% - 25%	1% - 25%
Glypican-3	Nuclear	Membranoso/Cito plasmático	Moderada	Fuerte	1% - 25%	1% - 25%
AFP	Citoplasmático	Membranoso/Cito plasmático	Moderada	Fuerte	1% - 25%	1% - 25%
OCT3/4	Nuclear	Nuclear	Moderada	Fuerte	1% - 25%	1% - 25%

### Patrón de tinción

Consenso de valoraciones - Marcador CD30				
Membranoso	Membranoso/Citoplasmático			
7 (70%)	3 (30%)			
Consenso de valoracione	es - Marcador Glypican-3			
Nuclear	Citoplasmático			
2 (20%)	8 (80%)			
Consenso de valoraci	iones - Marcador AFP			
Citoplasmático	Membranoso/Citoplasmático			
8 (80%)	2 (20%)			
Consenso de valoracio				
10 (100%)				

## Intensidad de tinción





Consenso de valoraciones - Marcador CD30					
Moderada Fuerte			Fuerte		
3 (30%)	3 (30%)		7 (70%)		
Consenso de valoraciones - Marcador Glypican-3					
Débil	Mode	Moderada Fuerte			
5 (50%)	4 (40%) 1 (10%)		1 (10%)		
С	Consenso de valoraciones - Marcador AFP				
Moderada		Fuerte			
5 (50%)		5 (50%)			
Co	nsenso de valoracio	nes - Marcador OCT	3/4		
Moderada			Fuerte		
7 (70%)		3 (30%)			

1% - 25%	26% - 50%	51% - 75%	
5 (50%)	4 (40%)	1 (10%)	
Con	senso de valoraciones - Marcador Glyp	ican-3	
1% - 25%		51% - 75%	
9 (90%)		1 (10%)	
C	Consenso de valoraciones - Marcador A	FP	
1% - 25%	26% - 50%	51% - 75%	
1% - 25% 8 (80%)	26% - 50% 1 (10%)	51% - 75% 1 (10%)	
8 (80%)		1 (10%)	
8 (80%)	1 (10%)	1 (10%)	

### **Observaciones**

Los tumores germinales con presencia de más de un componente se catalogan como tumores germinales mixtos independiente de la presencia de seminoma, en el caso evaluado, observamos presencia de teratoma (aprox.75%), carcinoma embrionario (15%), tumor de seno endodérmico (5%) con componente de sincitiotrofoblasto.

Los tumores germinales mixtos dan cuenta de la mayoría (69% o más) de los tumores no seminomatosos. Las combinaciones más frecuentes incluyen carcinoma embrionario con teratoma, seminoma, o tumor del saco de yolk, y frecuentemente se puede encontrar más de dos componentes. La mayoría de los casos se presentan a los 30 años, los casos en pacientes prepuberales son extremadamente raros. Frecuentemente se observa elevación de marcadores tumorales como reflejo de los componentes histológicos presentes: la





presencia de componente del saco de yolk y trofoblástico, muestra elevación de a-fetoproteina y gonadotropina coriónica humana, respectivamente.

Los diferentes componentes y sus proporciones, particularmente en el estadio I, puede tener implicaciones clínicas, así el diagnóstico de tumor germinal mixto debe seguirse por la enumeración de los diferentes componentes. Para estimar las proporciones de los diferentes componentes, puede ser de utilidad el uso de marcadores de inmunohistoquímica, adicional a los marcadores para tumores germinales, se puede hace uso de CK AE1/AE3 y CD30 para el componente de carcinoma embrionario; AFP y glipican 3 para el componente de tumor de saco de yolk; BhCG y glipican 3 en el componente de coriocarcinoma.

#### Referencias

1. Paner G, Amin M, Moch H, Sörkel S. WHO Classification of Tumours of the Urinary System and Male Genital Organs. 4th Editio. (Moch H, Humphrey PA, Ulbright TM, Reuter VE, eds.). Lyon, France: International Agency for Research on Cancer (IARC).

2. Roth





# Evaluación diagnóstica Caso clínico 2 IHQ-SET-C2

Diagnóstico				
Su respuesta	Respuesta referenciada			
Linfoma de células del manto, variante clásica	Linfoma de células del manto, variante clásica			
Conco	rdante			

Consenso de valoraciones						
Linfoma de células	Linfoma linfocitico de	Neoplasia de células	Linfoma de células	Linfoma de células		
del manto ciclina D1	célula pequeña	del manto, in situ	del manto, variante	del manto, variante		
negativa			clásica	pleomórfica		
0 (0%)	0 (0%)	0 (0%)	10 (100%)	0 (0%)		

## Interpretación de la inmunohistoquímica

Marcador	Patrón de tinción		Patrón de tinción Intensidad de tinción		% células positivas	
IVIAI CAUDI	Su respuesta	Rta. referenciada	Su respuesta	Rta. referenciada	Su respuesta	Rta. referenciada
CD20	Citoplasmático	Citoplasmático	Fuerte	Fuerte	76% - 100%	76% - 100%
Ciclina D1	Membranoso/Cito	Nuclear	Moderada	Fuerte	51% - 75%	76% - 100%
	plasmático					
CD5	Citoplasmático	Membranoso/Cito	Moderada	Fuerte	26% - 50%	76% - 100%
		plasmático				

### Patrón de tinción

С	onsenso de valoraci	ones - Marcador (	CD20		
Citoplasmático	Citoplasmático Membranoso				
1 (10%)		9 (90%)			
Con	senso de valoracion		Clina D1  Membranoso/Citoplasmático		
8 (80%)		Citoplasmático Membranoso/Citoplasmá 1 (10%) 1 (10%)			
	Consenso de valorac	,	,		
Citoplasmático		Membranoso			
3 (30%)		7 (70%)			

## Intensidad de tinción

Consenso de valoraciones - Marcador CD20
Fuerte
10 (100%)





Consenso de valoraciones - Marcador Ciclina D1			
Moderada Fuerte			
8 (80%)	2 (20%)		
Consenso de valoraciones - Marcador CD5			
Débil	Moderada Fuerte		Fuerte
3 (30%)	6 (60%) 1 (10%)		1 (10%)

Co	onsenso de valoraci	ones - Marcador CD	20
	76% -	100%	
	10 (1	00%)	
Cons	senso de valoracion	es - Marcador Ciclin	a D1
51% - 75%			76% - 100%
4 (40%)	6 (60%)		
С	onsenso de valorac	ones - Marcador CD	5
26% - 50%	51% - 75% 76% - 100		76% - 100%
2 (20%)	5 (5	0%)	3 (30%)

#### **Observaciones**

Los hallazgos histopatológicos y de fenotipo, son característicos del Linfoma B de células del manto, variante clásica.

El Linfoma de células del manto (MCL) es definido por la clasificación de la OMS como una neoplasia B de células maduras, constituida en su forma clásica por una población monomórfica de linfocitos pequeños a intermedios con núcleo irregular; genéticamente es caracterizada por la presencia de la translocación t(11;14)(q13;q32), la cual conlleva a la sobre expresión de la proteína ciclina D1. Dos principales subtipos biológicos han sido reconocidos, el MLC convencional y el MLC no nodal-leucémico, los cuales difieren tanto en su comportamiento clínico como en aspectos genéticos y moleculares.

Cuatro principales variantes citológicas son descritas: variante clásica, de célula pequeña, blástica, y pleomórfica; siendo las dos últimas, variantes agresivas y cuyo reconocimiento morfológico es considerado de importancia clínica. En este caso, características de la variante pleomórfica como su mayor tamaño, núcleo irregular, cromatina vesicular y nucléolo no son observadas, por el contrario, muestran una citología clásica.

La expresión de la proteína Ciclina D1 es un fenómeno constitutivo y altamente específico para el diagnóstico del MCL. Aunque esta no es del todo exclusiva y casos negativos pueden ser también encontrados. MCL Ciclina D1 negativo, son por lo tanto formas raras, que presentan morfología y fenotipo típico, pero no expresan la proteína ni portan la translocación 11;14. Estos casos son considerados variantes de MCL, con translocaciones cripticas que involucran otras Ciclinas (CCND2, CCND3); en estos casos la evaluación de la expresión de la proteína SOX11 mediante inmunohistoquímica surge como una herramienta muy útil e indispensable para su diagnóstico.

La neoplasia de células del manto in situ, previamente denominada como linfoma de células del manto in situ, se define como la presencia de células Ciclina D1 positivas, que portan la translocación 11;14, restringidas a la zona del manto, sin expandirlo ni reemplazarlo por completo. Este es usualmente un hallazgo incidental en un ganglio linfático de características reactivas y su potencial maligno es limitado.

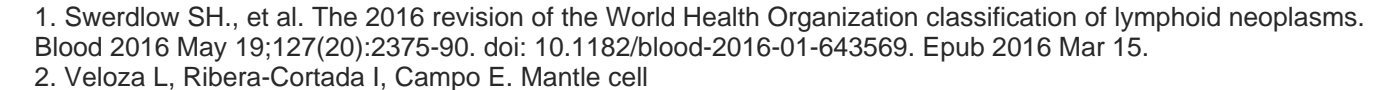
El Linfoma Linfocitico de célula pequeña (CLL/SLL), es otro tipo de linfoma con co-expresión de CD5, el





cual puede ser diferenciado del MCL por sus características morfológicas, con un predominio de célula pequeña con núcleo redondo y la presencia de prolinfocitos y parainmunoblastos. En su fenotipo se caracterizan típicamente por la expresión CD20 (usualmente débil en CF), CD23, CD200, cadenas livianas (monoclonales y débiles), LEF1 y negatividad para CD10, Ciclina D1, SOX11. Aunque, en este tipo de Linfoma la expresión de Ciclina D1 puede ser observada restringida a los centros de proliferación.

### Referencias







# Evaluación diagnóstica Caso clínico 3 IHQ-SET-C3

Diagnóstico			
Su respuesta Respuesta referenciada			
Compromiso por carcinoma de mama metastásico	Compromiso por carcinoma de mama metastásico		
Concordante			

Consenso de valoraciones			
Compromiso por carcinoma	Compromiso por carcinoma	Compromiso por mesotelioma	Compromiso por carcinoma
urotelial metastásico	de células renales		de mama metastásico
	metastásico		
0 (0%)	0 (0%)	0 (0%)	10 (100%)

## Interpretación de la inmunohistoquímica

Marcador	Patrón o	Patrón de tinción Intensidad de tinción % células positivas		Intensidad de tinción		positivas
Iviai Caudi	Su respuesta	Rta. referenciada	Su respuesta	Rta. referenciada	Su respuesta	Rta. referenciada
CK7	Citoplasmático	Citoplasmático	Moderada	Fuerte	76% - 100%	76% - 100%
GATA3	Nuclear	Nuclear	Moderada	Fuerte	76% - 100%	76% - 100%
CK20	Citoplasmático	Ausente	Débil	Ausente	Negativo	Negativo
RE	Nuclear	Nuclear	Moderada	Fuerte	76% - 100%	76% - 100%

## Patrón de tinción

Consenso de valoraciones - Marcador CK7					
Citoplasmático	Citoplasmático Membranoso				
7 (70%)	3 (30%)				
Consenso de valoraciones - Marcador GATA3					
Nuc	lear				
10 (1	00%)				
Consenso de valoracio	ones - Marcador CK20				
Citoplasmático	Ausente				
2 (20%)	8 (80%)				
Consenso de valoraciones - Marcador RE					
Nuclear					
10 (100%)					

## Intensidad de tinción

Consenso de valoraciones - Marcador CK7





Moderada	Fuerte			
1 (10%)	9 (90%)			
Consenso de valoraciones - Marcador GATA3				
Moderada	Fuerte			
1 (10%)	9 (90%)			
Consenso de valoraciones - Marcador CK20				
Débil	Ausente			
1 (10%)	9 (90%)			
Consenso de valoraciones - Marcador RE				
Moderada	Fuerte			
1 (10%)	9 (90%)			

Consenso de valoraciones - Marcador CK7		
76% - 100%		
10 (1	00%)	
Consenso de valoraciones - Marcador GATA3		
76% - 100%		
10 (100%)		
Consenso de valoraciones - Marcador CK20		
Neg	ativo	
10 (1	00%)	
Consenso de valoraciones - Marcador RE		
51% - 75%	76% - 100%	
1 (10%)	1 (10%) 9 (90%)	

### **Observaciones**

Se observa peritoneo con compromiso por una neoplasia maligna compuesta por células de tamaño intermedio, sin pleomorfismo significativo, dispuestas en cordones, nidos pequeños y en célula suelta, en un patrón infiltrativo. Las células son positivas para CK7, GATA-3 y RE (100%), y son negativas con CK20. Estudios adicionales de inmunohistoquímica mostraron ausencia de reactividad con p63, E-cadherina, CDX-2, PAX-8 y calretinina. El diagnóstico más probable es un carcinoma de mama metastásico que favorece un subtipo lobulillar. Estudios de imágenes complementarios evidenciaron un nódulo de 3 cm en mama derecha.

La inmunohistoquímica es muy útil en este caso debido a que los hallazgos histológicos podrían ser vistos en cualquiera de las opciones, menos probable un mesotelioma. GATA-3 y CK7 son marcadores cuya reactividad es compartida con uno de los principales imitadores, el carcinoma urotelial. Sin embargo, la presencia de unos receptores estrogénicos muy positivos y ausencia de CK20 (aunque este último hallazgo por si solo no es confiable) favorecen origen en glándula mamaria. Los carcinomas renales de célula clara





son típicamente negativos para CK7, GATA-3 y receptores de estrógeno. Los mesoteliomas tienen una citología distinta y citoplasma usualmente más abundante, estos en ocasiones pueden expresar GATA-3 y son positivos para CK7, pero no muestran expresión fuerte de receptores de estrógenos.

#### Referencias

- 1. Nucci MR, Oliva E. Diagnostic Pathology. Elsevier; 2019. 4251 p.
- 2. Carcoforo P, Raiji MT, Langan RC, Lanzara S, Portinari M, Maestroni U, et al. Infiltrating lobular carcinoma of the breast presenting as gastrointestinal obstruction: A mini review





# Evaluación diagnóstica Caso clínico 4 IHQ-SET-C4

Diagn	óstico	
Su respuesta Respuesta referenciada		
Tumor maligno de la vaina neural periférica	Schwannoma celular	
No Concordante		

Consenso de valoraciones			
Neurofibroma	Tumor maligno de la vaina	Schwannoma celular	Fibrosarcoma
	neural periférica		
2 (20%)	1 (10%)	7 (70%)	0 (0%)

## Interpretación de la inmunohistoquímica

Marcador	Patrón d	le tinción	ón Intensidad de tinción		% células positivas	
ivial caudi	Su respuesta	Rta. referenciada	Su respuesta	Rta. referenciada	Su respuesta	Rta. referenciada
S100	Nuclear/Citoplas	Nuclear/Citoplas	Moderada	Fuerte	76% - 100%	76% - 100%
	mático	mático				
EMA	Citoplasmático	Membranoso/Cito	Moderada	Débil	26% - 50%	26% - 50%
		plasmático				
SOX-10	Nuclear	Nuclear	Fuerte	Fuerte	76% - 100%	76% - 100%
Ki-67	Nuclear	Nuclear	Moderada	Fuerte	1% - 25%	1% - 25%

### Patrón de tinción

C	onsenso de valoraciones - Marcador S1	00
Nuclear	Citoplasmático	Nuclear/Citoplasmático
1 (10%)	1 (10%)	8 (80%)
C	onsenso de valoraciones - Marcador EN	ЛА
Citoplasmático	Membranoso	Ausente
6 (60%)	3 (30%)	1 (10%)
Cor	nsenso de valoraciones - Marcador SO)	<b>K-10</b>
	Nuclear	
	10 (100%)	
Co	onsenso de valoraciones - Marcador Ki	-67
	Nuclear	
	10 (100%)	

## Intensidad de tinción





	Consenso de valoraci	ones - Marcador S100	
Mod	erada	Fue	erte
3 (30%)		7 (70%)	
	Consenso de valoraci	ones - Marcador EMA	
Débil	Moderada	Fuerte	Ausente
6 (60%)	2 (20%)	1 (10%)	1 (10%)
	Consenso de valoracio	nes - Marcador SOX-10	
	10 (1	00%)	
	Consenso de valoraci	ones - Marcador Ki-67	
Moderada		Fuerte	
2 (20%)		8 (80%)	

	Consenso de valorac	ciones - Marcador S100		
26% - 50%	51%	- 75%	76% - 100%	
1 (10%)	1 (	10%)	8 (80%)	
	Consenso de valorad	ciones - Marcador EMA		
Negativo	1% - 25%	26% - 50%	76% - 100%	
1 (10%)	2 (20%)	6 (60%)	1 (10%)	
	Consenso de valoraci	ones - Marcador SOX-10		
51% - 75%		76% - 100%		
1 (10%)		9 (90%)		
	Consenso de valorac	iones - Marcador Ki-67		
Negativo		1% - 25%		
1 (10%)		9 (90%)		

### **Observaciones**

El Schwannoma celular es una variante bien reconocida de schwanoma, que, debido a su celularidad, actividad mitótica y presencia ocasional de destrucción ósea, es diagnosticado como maligno en la de un cuarto de los casos. Se define como un schwanoma constituido predominante o exclusivamente por áreas Antoni A que pierden los cuerpos de Verocay, ocurre en un grupo etareo similar a los schwanomas clásicos, pero tiende a desarrollarse más frecuentemente en estructuras profundas como región paravertebral, mediastino posterior y retroperitoneo. Los parescraneales pueden verse comprometidos, especialmente el quinto y el octavo. Solo cerca del 25% se desarrollan en tejidos blandos profundos de extremidades. Puede presentarse como una masa palpable asintomática evidente en estudios de imágenes o como una masa que produce síntomas neurológicos. Al igual que los schwanomas clásicos, las lesiones son circunscritas, si no encapsuladas, y





ocasionalmente son multinoculares y plexiformes. Macroscópicamente son de color pardo homogéneas, con hemorragia, pero rara vez presentan degeneración quística. Las áreas Antoni A dominan el cuadro histológico, pero pueden estar presentes pequeños focos de áreas Antoni B, que generalmente no exceden el 10% de la lesión. Además de los fascículos cortos y en espiral de células de Schwann, las áreas de Antoni A pueden mostrar fascículos largos y amplios, en ocasiones este patrón sugiere el diagnóstico de fibrosarcoma o leiomiosarcoma.

Se puede observar actividad mitótica, pero generalmente es baja (menos de 4 mitosis por 10 campos de alto aumento). Pueden observarse áreas focales de necrosis en hasta el 10% de los casos, asociadas con mayor frecuencia a trauma. Sin embargo, las células que rodean las áreas de necrosis son células de Schwann diferenciadas y carecen de hipercromatismo y anaplásica que acompañan a las áreas de necrosis zonal en los tumores malignos de la vaina neural periférica. Al igual que los schwannomas clásicos, muestran una inmunorreactividad difusa y fuerte para S100. Los factores importantes que sugieren una diagnóstico benigno incluyen una celularidad desproporcionadamente alta en comparación con los niveles de actividad mitótica y atipia, circunscripción o encapsulación, hialinización perivascular, áreas focales Antoni B e inmunorreactividad S100.

### Referencias

1.Antonescu C.R, Perry A, Woodruff J.M. Schwannoma (including variants). En: Fletcher C, Bridge J, Hogendoorn P, Mertens F. WHO Classification of Tumours of Soft Tissue and Bone. 4th Edition. Lyon: International Agency for Research on Cancer (IARC); 201.

#### Comentarios del intento

En el caso de peritoneo el negativo y piden intensidad de tinción. No acepta negativo. Es raro.,

- Final del reporte -Página 15 de 15

Aprobado por:

Anna Valentina Pérez Porras. Medical Science Liaison
Programas QAP PAT

alentina